

УДК 550.3,550.372

УЛЬТРАНИЗКОЧАСТОТНЫЕ РЕЗОНАТОРЫ: К 80-ЛЕТИЮ ОТКРЫТИЯ ВОЛН АЛЬВЕНА

© 2023 г. А. В. Гульельми^a, *, Б. И. Клейн^b, **, А. С. Потапов^c, ***

^aИнститут физики Земли им. О.Ю. Шмидта РАН, Москва, Россия

^bГеофизическая обсерватория “Борок” филиал Института физики Земли им. О.Ю. Шмидта РАН, Борок, Россия

^cИнститут солнечно-земной физики СО РАН, Иркутск, Россия

*e-mail: guglielmi@mail.ru

**e-mail: klb314@mail.ru

***e-mail: potapov@iszf.irk.ru

Поступила в редакцию 25.06.2022 г.

После доработки 25.01.2023 г.

Принята к публикации 08.02.2023 г.

Представление о волнах Альвена, введенное в науку 80 лет тому назад, сыграло большую роль в становлении и развитии космической электродинамики. Волны Альвена отличаются тем, что в каждой точке пространства вектор групповой скорости и вектор внешнего магнитного поля коллинеарны друг другу, благодаря чему волны могут переносить импульс, энергию и информацию на большие расстояния. В память о выдающемся событии мы кратко описываем два резонатора Альвена, один из которых располагается высоко над Землей, в радиационном поясе, а второй – в ионосферных слоях. Оба резонатора имеют дискретный спектр в верхней части диапазона ультранизкочастотных колебаний естественного происхождения (ориентировочно от 0.2 до 7 Гц). Особо подчеркивается теснейшая связь представления о волнах Альвена с сегодняшними проблемами электродинамики геофизических сред.

Ключевые слова: скорость Альвена, групповая скорость, геометрическая оптика, тяжелые ионы, радиационный пояс, магнитотеллурическое зондирование

DOI: 10.31857/S0320930X23040047, **EDN:** RECJCA

ВВЕДЕНИЕ

80 лет тому назад H. Alfvén обнаружил существование не известных ранее электромагнитных волн. Вот как выразил это сам Alfvén в своей пионерской работе: “Thus a kind of electromagnetic-hydro-dynamic wave is produced which, so far as I know, has as yet attracted no attention” (Alfvén, 1942). Волны распространяются в плазме и в хорошо проводящей жидкости, помещенных во внешнее магнитное поле \mathbf{B} , причем групповая скорость волн $\mathbf{v} = d\omega/d\mathbf{k}$ параллельна или антипараллельна \mathbf{B} :

$$\mathbf{v} = \pm \mathbf{B} / \sqrt{4\pi\rho}. \quad (1)$$

Здесь ω – частота волны, \mathbf{k} – волновой вектор, ρ – плотность среды. Знаки “+” и “−” соответствуют неравенствам $\mathbf{k}\mathbf{B} > 0$ и $\mathbf{k}\mathbf{B} < 0$.

Выведем формулу (1) из дисперсионного уравнения линейной электродинамики сплошных сред:

$$\text{Det}(n^2\delta_{\alpha\beta} - n_\alpha n_\beta - \epsilon_{\alpha\beta}) = 0. \quad (2)$$

Здесь $\mathbf{n} = c\mathbf{k}/\omega$. Тензор диэлектрической проницаемости магнитоактивной плазмы имеет вид:

$$\epsilon_{\alpha\beta} = \begin{pmatrix} \epsilon_\perp & ig & 0 \\ -ig & \epsilon_\perp & 0 \\ 0 & 0 & \epsilon_\parallel \end{pmatrix}. \quad (3)$$

Здесь ось анизотропии параллельна внешнему магнитному полю (Гинзбург, 1967; Либшиц, Питаевский, 1979). Считаем плазму идеально проводящей вдоль силовых линий внешнего магнитного поля ($|\epsilon_\parallel| \rightarrow \infty$) и пренебрежем гиротропией ($g \rightarrow 0$). Заметим, что гиротропией можно пренебречь, если $\omega \ll \min\{\Omega_i\}$, где Ω_i – гирочастота ионов, причем $\epsilon_\perp = 4\pi\rho(c/B)^2$ в этом случае. Тогда из (2) получаем $\omega = k_\parallel c_A$ для необыкновенной волны, откуда следует (1). Здесь $k_\parallel = \mathbf{k}\mathbf{B}/|\mathbf{B}|$. Величину $c_A = B/\sqrt{4\pi\rho}$ называют скоростью Альвена (Ландау, Либшиц, 2003).

Из свойства коллинеарности векторов \mathbf{v} и \mathbf{B} следует, что волны Альвена могут переносить им-

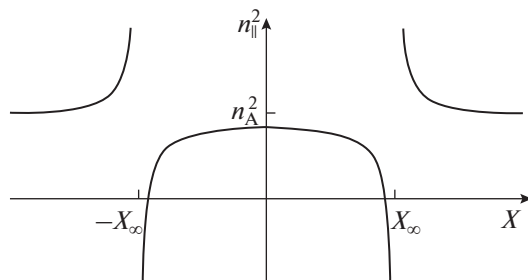


Рис. 1. Дисперсионная кривая в окрестности экватора силовой линии геомагнитного поля (см. текст).

пульс, энергию и информацию на большие расстояния. Богатейший материал наземных и спутниковых наблюдений ультразвуковых (УНЧ) геоэлектромагнитных волн, безусловно, подтверждает теорию Альвена. Недавние наблюдения свидетельствуют, что гелиосейсмические колебания фотосферы Солнца с несущей частотой 3.3 мГц переносятся волнами Альвена на 150 млн км и могут быть зарегистрированы на поверхности Земли (Гульельми, Потапов, 2021).

Открытие Альвена сыграло значительную роль в становлении и развитии космической электродинамики (Альвен, 1952). Мы не будем пытаться даже кратко представить колоссальную литературу, посвященную волнам Альвена. В память о выдающемся событии мы лишь кратко описываем два резонатора Альвена, один из которых располагается высоко над Землей, в радиационном поясе, а второй — в ионосферных слоях.

ПРИЭКВАТОРИАЛЬНЫЙ РЕЗОНАТОР

В приэкваториальной зоне внешнего радиационного пояса Земли плазма состоит из ионов водорода H^+ , электронов и малой примеси более тяжелых ионов, например, ионов кислорода O^+ . Покажем, что наличие в водородной плазме примесных ионов кислорода приводит к формированию резонатора Альвена высоко над Землей, в окрестности плоскости геомагнитного экватора.

Проанализируем рис. 1. На нем по вертикальной оси отложен квадрат показателя преломления для необыкновенной волны в водородно-кислородной плазме. Величина n_A равна c/c_A . По горизонтальной оси отложено расстояние от экватора вдоль силовой линии геомагнитного поля, проходящей через радиационный пояс. В точке x_∞ частота волны равна гирочастоте Ω_{O^+} ионов кислорода. Несколько левее располагается точка, в которой дисперсионная кривая пересекает горизонтальную ось. Это точка полного внутреннего отражения для волны, распространяющейся от экватора слева направо, если полоса непрозрач-

ности ($n_{||}^2 < 0$) имеет достаточно большую ширину. Отраженная волна распространяется справа налево, пересекает экватор и отражается от аналогичной точки поворота, расположенной в противоположной полусфере магнитосферы. Процесс повторяется и формируется резонатор (Guglielmi и др., 2000) (см. также, Михайлова, 2017). Таким образом, теория предсказывает, что между точками отражения, расположенными высоко над Землей симметрично относительно плоскости геомагнитного экватора, располагается резонатор Альвена. Спектр колебаний резонатора имеет интересную особенность. А именно, спектральные линии эквидистантны, однако расстояние между смежными линиями много меньше фундаментальной частоты. Еще одна особенность состоит в том, что продольный размер резонатора увеличивается с ростом номера гармоники (Guglielmi и др., 2000).

ИОНОСФЕРНЫЙ РЕЗОНАТОР

Ионосфера Земли представляет собой слоистую среду с максимумом плотности плазмы в слое F2 на высоте около 300 км. Представим себе волну Альвена, которая распространяется в ионосфере северного полушария сверху вниз, и допустим, что в слое F2 выполняется приближение геометрической оптики. Волна испытывает рефракцию, но не теряет свойства направленности. Другими словами, $kB > 0$ в указанном случае. Волна распространяется вниз и достигает слоистой структуры, состоящей из нижних слоев ионосферы, атмосферы и верхнего тонкого слоя литосферы, толщина которого порядка скин-длины. В этих слоях происходит резкое нарушение условий применимости геометрической оптики. Возникает отраженная волна, бегущая вверх ($kB < 0$). Отраженная волна пересекает слой F2 и проникает в экзосферу. Здесь вновь нарушаются условия приближения геометрической оптики за счет того, что скорость Альвена быстро нарастает с высотой из-за экспоненциального спада плотности плазмы с удалением от Земли. Волна отражается и распространяется вниз. Цикл повторяется, и формируются стоячие волны с дискретным спектром частот. Таков механизм образования ионосферного резонатора Альвена (Ionospheric Alfvén Resonator, или, сокращенно, IAR).

Детальные теоретические расчеты и тщательные наблюдения убедительно свидетельствуют о существовании ионосферного резонатора Альвена (Беляев и др., 1987). Любопытно, что для резонатора характерно распределение спектральных линий по нечетным гармоникам. Другими словами, частоты обертонов относятся к частоте ос-

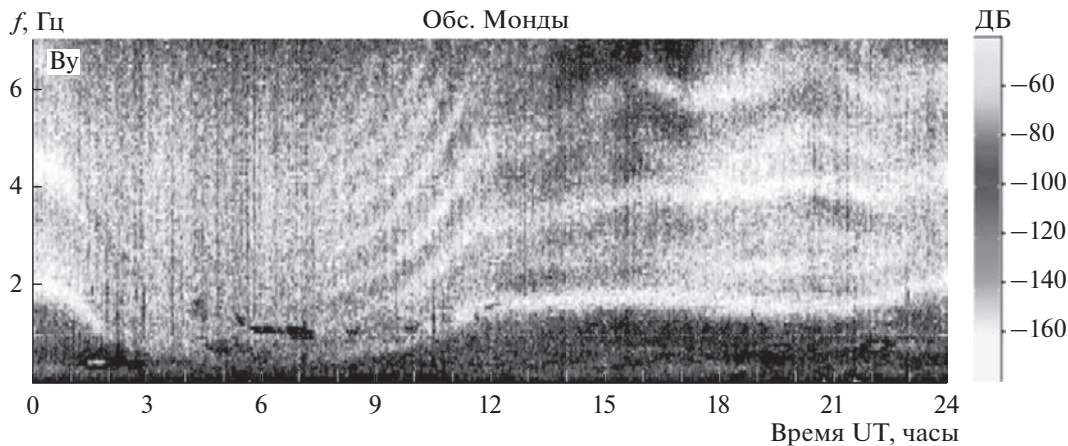


Рис. 2. Динамический спектр электромагнитных колебаний ионосферы, зарегистрированных в обсерватории Монды ИСЗФ СО РАН 12.01.2017 г.

новного тона IAR как 3, 5, 7 и так далее к 1 (Potapov и др., 2022).

Рис. 2 дает представление о структуре и динамике спектральных линий. Колебания были зарегистрированы 12.01.2017 г. в среднеширотной обсерватории Монды ИСЗФ СО РАН (52° с.ш., 101° в.д.). Мы видим ребристую структуру из набора гармоник, причем особенно отчетливо после 08 UT. Частоты гармоник плавно изменяются со временем, что естественным образом связано с суточной вариацией параметров ионосферы.

ОБСУЖДЕНИЕ

УНЧ-диапазон простирается от миллигерц до нескольких герц. Представление о двух резонаторах, кратко описанных выше, помогает понять геоэлектромагнитные колебания в верхней части диапазона, ориентировано от 0.2 до 7 Гц. Это понимание пришло сравнительно недавно. Значительно раньше была осознана роль волн Альвена в формировании резонансных УНЧ-колебаний в нижней части диапазона, от 2 до 20 мГц (Данжи, 1961) (см. также обзор (Troitskaya, Guglielmi, 1967) и монографию (Нишида, 1980)). Интерес к длинноволновым колебаниям был, в известной степени, мотивирован тем, что их наблюдение с давних пор используется для экспериментального изучения земной коры весьма эффективным методом магнитотелурического зондирования (МТЗ) (Wait, 1982).

В основе метода МТЗ лежит импедансное граничное условие Леонтовича:

$$\mathbf{E}_t = \zeta \mathbf{H}_t \times \mathbf{n}. \quad (4)$$

Оно приближенно выполняется на поверхности хорошо проводящих тел (Leontovich, 1948). Здесь \mathbf{E}_t и \mathbf{H}_t – касательные компоненты электрического и магнитного полей, \mathbf{n} – внутренняя

нормаль к поверхности тела, ζ – поверхностный импеданс. Приближенный характер граничного условия Леонтовича, в сочетании с неоднородностью распределения по земной поверхности поля длинноволновых колебаний Альвена, приводят к эффекту кажущейся (фиктивной) нелинейности поверхностного импеданса, вычисленного по формуле (4). В самом деле, в теории скин-эффекта формула (4) выводится в первом приближении при разложении решения в ряд по малому параметру ζ . Во втором приближении имеем:

$$E_x = \zeta H_y + \frac{c^2 \zeta^3}{2\omega^2} \frac{\partial^2 H_y}{\partial x^2}, \quad (5)$$

где ось x направлена на север, ось y на восток, и для иллюстрации выбрана простейшая модель индуцирующего поля, создаваемого резонансными колебаниями магнитосфера торoidalного типа. Проекция на земную поверхность магнитной оболочки, резонирующей на частоте ω , может удаляться, или приближаться к точке наблюдения вследствие нестационарности магнитосфера, а также вследствие самовоздействия стоячих волн Альвена. В результате изменяются амплитуда колебаний и величина поправочного члена в правой части формулы (5). Как следствие будет наблюдаться кажущаяся нелинейность поверхностного импеданса при проведении МТЗ в одной точке.

Паразитная нелинейность импеданса не возникает при проведении индукционного зондирования с использованием трехкомпонентных измерений на сети магнитометров, расположенных достаточно плотно в изучаемом регионе. Импеданс отыскивается как решение дифференциального уравнения:

$$A \frac{\partial \zeta}{\partial x} + B \frac{\partial \zeta}{\partial y} + C \zeta + D = 0, \quad (6)$$

коэффициенты которого $A = H_x$, $B = H_y$, $C = \partial H_x / \partial x + \partial H_y / \partial y$, $D = (i/\lambda)H_z$ определяются путем интерполяции результатов измерения. Здесь первые два члена учитывают плавные латеральные изменения импеданса. Результат зондирования не зависит от нюансов пространственно-го распределения длинноволновых резонансных колебаний магнитосферы.

Наше обсуждение дает возможность напомнить о трех задачах электродинамики. Прямая задача состоит в поиске электромагнитного поля при заданной структуре среды. В обратной задаче, напротив, необходимо отыскать структуру среды по известному из наблюдений электромагнитному полю. На практике, однако, мы, обычно, имеем дело со смешанной задачей (Краснушкин, Яблочкин, 1963). Обычно, кое-что известно об электромагнитном поле, а кое-что о среде. Задача состоит в оценке неизвестных параметров среды и в отыскании недостающей информации о волновом поле. Границное условие Леонтовича (4) облегчает решение обратной задачи, если заранее известно, что тело (в частности, земная кора) обладает высокой электропроводностью. Физика УНЧ-колебаний магнитосферы дает нам дополнительную информацию о том, что индуцирующее поле во многих случаях представляет собой поле стоячей волны Альвена. Это дает возможность вносить поправки в решение обратной задачи, найденное на основе формулы (4) при производстве МТЗ – весьма мощного метода экспериментального изучения земной коры.

Заканчивая обсуждение, укажем, что описанное нами представление об УНЧ-колебаниях ионосферы позволяет поставить обратную задачу – оценить состояние плазмы выше максимума слоя F2 по данным наблюдения спектра колебаний IAR. По существу, мы также имеем здесь дело со смешанной задачей, так как используем априорную информацию о колебаниях IAR как о стоячих волнах Альвена.

ЗАКЛЮЧЕНИЕ

Наш главный вывод состоит в том, что спустя 80 лет после открытия волны Альвена продолжают привлекать пристальное внимание исследователей ультразвуковых колебаний электромагнитного поля Земли. В данной статье, посвященной юбилею открытия, мы кратко описали в рамках линейной теории два резонатора Альвена. Стоит указать в заключение на обзор (Lundin, Guglielmi, 2006), в котором отражена богатейшая литература по теоретическому и экспериментальному исследованию нелинейности волн Альвена.

Исследование выполнено за счет гранта Российского научного фонда № 22-27-00280, <https://rscf.ru/project/22-27-00280>.

СПИСОК ЛИТЕРАТУРЫ

- Альвен Х.* Космическая электродинамика. М.: ИЛ, 1952. 260 с.
- Беляев П.П., Поляков С.В., Рапопорт В.О., Трахтенберг В.Ю.* Обнаружение резонансной структуры спектра атмосферного электромагнитного шумового фона в диапазоне короткопериодных геомагнитных пульсаций // Докл. АН СССР. 1987. Т. 297. С. 840–843.
- Гинзбург В.Л.* Распространение электромагнитных волн в плазме. М.: Наука, 1967. 685 с.
- Гульельми А.В., Потапов А.С.* Частотно-модулированные ультразвуковые волны в околоземном космическом пространстве // УФН. 2021. Т. 191. № 5. С. 475–491.
<https://doi.org/10.3367/UFNr.2020.06.038777>
- Данжи Дж.* Космическая электродинамика. М: Гос. изд-во лит-ры в области атомной науки и техники, 1961. 208 с.
- Краснушкин П.Е., Яблочкин Н.А.* Теория распространения сверхдлинных волн. М.: ВЦ АН СССР, 1963. 94 с.
- Ландau Л.Д., Лишин Е.М.* Электродинамика сплошных сред. Том VIII. Теоретическая физика. Издание 4-е, стереотипное. М.: Физматлит, 2003. 656 с.
- Лишин Е.М., Питаевский Л.П.* Физическая кинетика. М.: Наука, 1979. 528 с.
- Михайлова О.С.* Короткопериодные УНЧ-волны в многокомпонентной космической плазме. Автoref. дис. канд. физ.-мат. наук. Иркутск: ИСЗФ СО РАН. 2017. 16 с.
- Нишида А.* Геомагнитный диагноз магнитосферы. М.: Мир, 1980. 300 с.
- Alfvén H.* Existence of electromagnetic-hydrodynamic waves // Nature. 1942. V. 150. P. 405–406.
- Guglielmi A.V., Potapov A.S., Russell C.T.* The ion cyclotron resonator in the magnetosphere // JETP Letters. 2000. V. 72. № 6. P. 298–300.
- Leontovich M.* On the approximate boundary conditions for the electromagnetic field on the surface of well conducting bodies // Investigations on Propagation of Radio Waves / Ed. Vvedenskii B.A. Moscow, Leningrad: AN SSSR, 1948. V. 2. P. 5–10.
- Lundin R., Guglielmi A.* Ponderomotive forces in Cosmos // Space Sci. Rev. 2006. V. 127. № 1–4. P. 1–116.
<https://doi.org/10.1007/s11214-006-8314-8>
- Potapov A.S., Guglielmi A.V., Klain B.I.* Discrete spectrum of ULF oscillations of the ionosphere // IEEE Transact. Geosci. and Remote Sensing. 2022. V. 60. id. 4600505.
<https://doi.org/10.1109/TGRS.2021.3092738>
- Troitskaya V.A., Guglielmi A.V.* Geomagnetic micropulsations and diagnostics of the magnetosphere // Space Sci. Rev. 1967. V. 7. № 5/6. P. 689–769.
- Wait J.R.* Geo-Electromagnetism. New York: Acad. Press, 1982. 268 p.